

# TEORIA DELLE PERTURBAZIONI RINORMALIZZATA. [PS.10.2]

Riprendiamo la teoria  $\lambda\phi^4$  in 4 dimensioni ed approfondiamo l'approccio con i controtomini.


$$\mathcal{L} = \frac{1}{2} (\partial_\mu \phi)^2 - \frac{1}{2} m_0^2 \phi^2 - \frac{\lambda_0}{4!} \phi^4$$


$m_0, \lambda_0 \Rightarrow$  parametri "bare" della Lagrangiana, non osservabili.

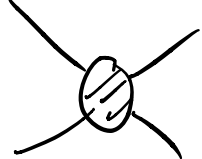
La teoria è invariante sotto  $\mathbb{Z}_2: \phi \rightarrow -\phi$ , quindi tutti i diagrammi con un numero dispari di  $\phi$  nelle gambe esterne sono nulli.

Il grado di div. sup. è  $D = 4 - N$

Gli unici diagrammi divergenti sono:

  $\sim \Lambda^4 \Rightarrow$  energia del vuoto non osservabile in assenza della gravità

  $\sim \Lambda^2 + p^2 \log \Lambda \Rightarrow$  rinormalizzazione della massa e del termine cinetico

  $\sim \log \Lambda \Rightarrow$  rinormalizzazione di  $\lambda$

Queste 3 divergenze possono essere riassorbite da 3 parametri della teoria:

$\{m_0, \text{campo } \phi, \lambda_0\}$

Avevamo visto che:

$$\langle 0 | T \{ \phi(x) \phi(y) \} | 0 \rangle = \int \frac{d^4 p}{(2\pi)^4} e^{ip(x-y)} \left[ \frac{i z}{p^2 - m^2 + i\epsilon} + i \int_{m^2}^{\infty} dq^2 \frac{\tilde{\rho}(q^2)}{p^2 - q^2 + i\epsilon} \right]$$

dove  $m$  è la massa fisica.

In LSZ, ad ogni campo esterno si applicava un fattore  $z^{-1/2}$ .

Riscalando i campi  $\phi \equiv z^{1/2} \phi_r$  possiamo eliminare questi fattori. Adesso però  $z$  entra in  $\mathcal{L}$ :

$$\mathcal{L} = \frac{1}{2} z (d_r \phi_r)^2 - \frac{1}{2} m_0^2 z \phi_r^2 - \frac{\lambda_0}{4!} z^2 \phi_r^4$$

Definiamo:

$$z \equiv 1 + \delta z, \quad m_0^2 z \equiv m^2 + \delta m, \quad \lambda_0 z^2 \equiv \lambda + \delta \lambda$$

$$\Rightarrow \mathcal{L} = \frac{1}{2} (d_r \phi_r)^2 - \frac{1}{2} m^2 \phi_r^2 - \frac{\lambda}{4!} \phi_r^4$$

$$\left. \begin{aligned} &+ \frac{1}{2} \delta z (d_r \phi_r)^2 - \frac{1}{2} \delta m \phi_r^2 - \frac{\delta \lambda}{4!} \phi_r^4 \end{aligned} \right\} \text{CONTROTERMINI}$$

Questi controtermini vengono fissati da opportune

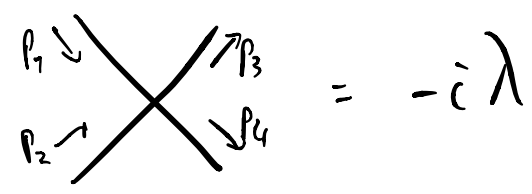
**CONDIZIONI DI RINORMALIZZAZIONE.**

Sono nuove interazioni che riassorbono le divergenze:

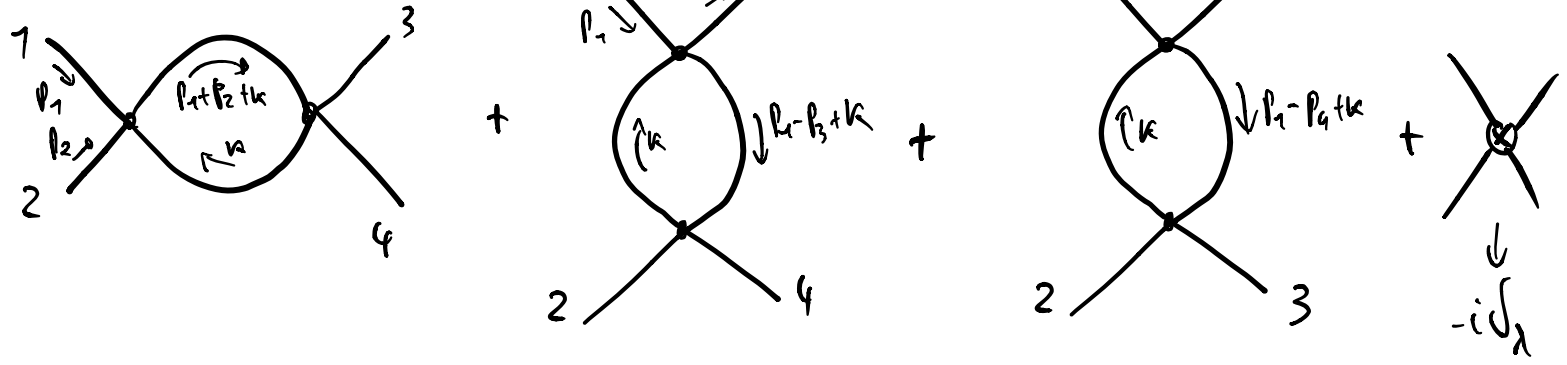
$$\text{---} \otimes \text{---} = i(p^2 \delta z - \delta m) \quad \text{---} \otimes \text{---} = -i \delta \lambda$$

# Calcolo di $\phi\phi \rightarrow \phi\phi$ in $\lambda\phi^4$ a 1 loop

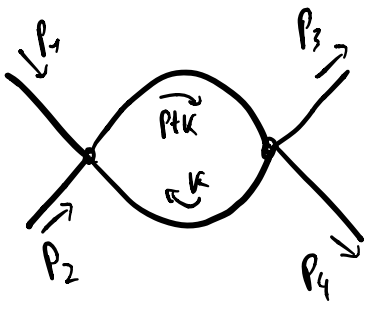
$$\mathcal{L} = \frac{1}{2} (\partial_\mu \phi)^2 - \frac{m^2}{2} \phi^2 - \frac{\lambda}{4!} \phi^4 + (\text{controtermi})$$



A un loop:



$$p \equiv p_1 + p_2$$



fattore di simmetria

$$= (-i\lambda)^2 \frac{1}{2} \int \frac{d^4 k}{(2\pi)^4} \frac{i}{(k^2 - m^2 + i\epsilon)} \frac{i}{((p+k)^2 - m^2 + i\epsilon)} =$$

$$\equiv (-i\lambda)^2 i V(p^2) \leftarrow \begin{array}{l} \text{Essendo una funzione scalare} \\ \text{può dipendere solo da } p^2. \end{array}$$

La somma di tutti i diagrammi è:

$$iM(12 \rightarrow 34) = -i\lambda + (i\lambda)^2 [iV(s) + iV(t) + iV(u)] - i\lambda$$

dove

$$s = (p_1 + p_2)^2, \quad t = (p_1 - p_3)^2, \quad u = (p_1 - p_4)^2$$

$$e \quad s + t + u = 4m^2$$

Dobbiamo calcolare quindi  $V(p^2)$ .

$$iV(p^2) = \frac{1}{2} \int \frac{d^4 k}{(2\pi)^4} \frac{i}{(k^2 - m^2 + i\epsilon)} \frac{i}{((p+k)^2 - m^2 + i\epsilon)}$$

## PARAMETRIZZAZIONE DI FEYNMAN

Sfruttiamo l'identità: 
$$\frac{1}{AB} = \int_0^1 dx \frac{1}{(xA + (1-x)B)^2}$$

$$B = k^2 - m^2 + i\epsilon$$

$$A = (p+k)^2 - m^2 + i\epsilon$$

$$xA + (1-x)B = x(p^2 + k^2 + 2p \cdot k - m^2 + i\epsilon) + (1-x)(k^2 - m^2 + i\epsilon) =$$

$$= k^2 + x p^2 + 2x p \cdot k - m^2 + i\epsilon \equiv l^2 - \Delta + i\epsilon$$

dove  $l \equiv k + px$  e  $\Delta = m^2 - p^2 x(1-x)$

Abbiamo: 
$$V(p^2) = \frac{i}{2} \int \frac{d^4 l}{(2\pi)^4} \int_0^1 dx \frac{1}{(l^2 - \Delta + i\epsilon)^2}$$

## DIM-REG

Regularizziamo la divergenza UV in dim-reg

con  $d = 4 - \epsilon$ :  $\int d^4 l \rightarrow \int d^d l$

- L'accoppiamento  $\lambda$  diventa prende una dimensione di energia.  $[\lambda] = 4 - d = \epsilon$  per  $d = 4 - \epsilon$ .

Definiamo quindi:

$$\lambda \xrightarrow{d=4-\epsilon} \lambda \mu^\epsilon \quad \text{con } \mu \text{ una scala di energia,} \\ \text{tenendo } \lambda \text{ adimensionale: } [\lambda] = 0.$$

# ROTAZIONE DI WICK

Considero solo 1 potenza in  $\lambda$  dato da:

$$iM \sim -i\lambda \mu^\epsilon (1 + \lambda \mu^\epsilon (\dots)) - i\delta_\epsilon \mu^\epsilon$$

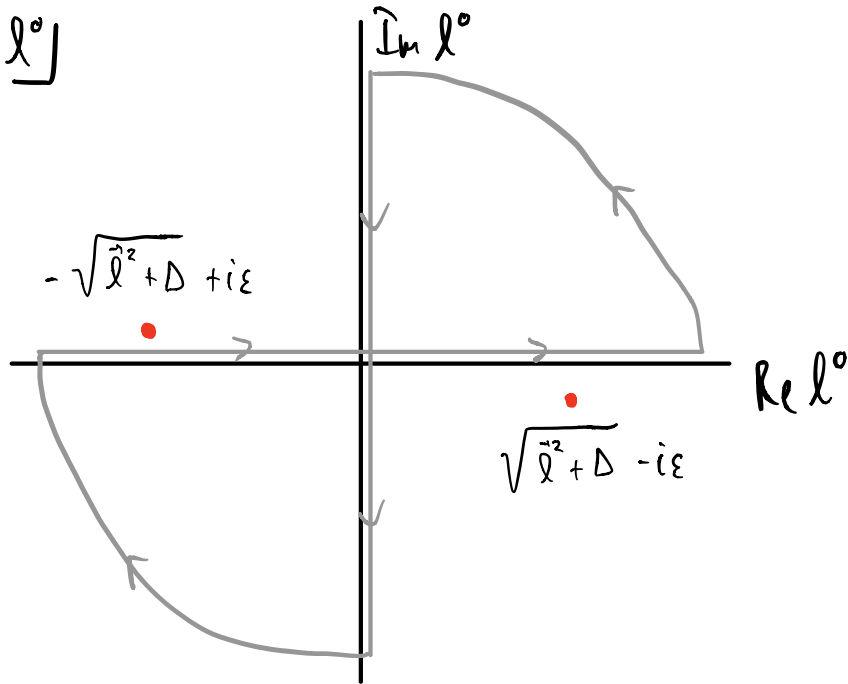
$$V(p^2) = \frac{i}{2} \mu^\epsilon \int_0^1 dx \int \frac{d^d l}{(2\pi)^d} \frac{1}{(l^2 - \Delta + i\epsilon)^2}$$

Assumiamo  $\Delta > 0$   
(risultato sarà valido anche per  $\Delta < 0$ )

L'integrando ha poli per

$$l^0 = \sqrt{\vec{l}^2 + \Delta} - i\epsilon \quad \text{e} \quad l^0 = -\sqrt{\vec{l}^2 + \Delta} + i\epsilon$$

Estendiamo analiticamente l'integrale nel piano complesso di  $l^0$



L'integrale lungo questo contorno è nullo. Quelli sugli archi danno contributo nullo, all'infinito.

$$\oint dl^0 f(l^0) = 0 = \int_{-\infty}^{+\infty} dl^0 f(l^0, \vec{l}) - \int_{-i\infty}^{+i\infty} dl^0 f(l^0, \vec{l}) = \left[ l^0 = i l^0_c \right]$$

$\downarrow$   
Euclideo

$$\Rightarrow \int_{-\infty}^{+\infty} dl^0 f(l^0, \vec{l}) = i \int_{-\infty}^{+\infty} dl^0_c f(i l^0_c, \vec{l})$$

$$\begin{aligned} \text{ovvero} \\ l^2 = l^{0^2} - \vec{l}^2 \rightarrow -l^0_c{}^2 - \vec{l}^2 \\ = -l^2_c \end{aligned}$$

$$\int \frac{d^d l}{(2\pi)^d} \frac{1}{(l^2 - \Delta + i\varepsilon)^2} = i \int \frac{d^d l_{\tilde{c}}}{(2\pi)^d} \frac{1}{(l_{\tilde{c}}^2 + \Delta)^2}$$

Adesso possiamo eliminare il  $+i\varepsilon$ .

$$= i \int \frac{d\Omega_d}{(2\pi)^d} \int_0^\infty dl_{\tilde{c}} \frac{l_{\tilde{c}}^{d-1}}{(l_{\tilde{c}}^2 + \Delta)^2}$$

## Integrale di superficie $\int d\Omega_d$

Area della sfera unitaria in  $d$ -dimensioni:

$$(\sqrt{\pi})^d = \left( \int dx e^{-x^2} \right)^d = \int d^d x_i e^{-\sum x_i^2} = \int d\Omega_d \int_0^\infty dx x^{d-1} e^{-x^2} = [x^2=t]$$

$$= \frac{1}{2} \int_0^\infty dt \underbrace{t^{\frac{d}{2}-1} e^{-t}}_{\Gamma(\frac{d}{2})} \int d\Omega_d \Rightarrow$$

$$\int d\Omega_d = \frac{2\pi^{d/2}}{\Gamma(\frac{d}{2})}$$

## FUNZIONE GAMMA

$$\Gamma(n) = (n-1)! \quad \text{per } n \in \mathbb{N}$$

$$\Gamma(z) = \int_0^\infty x^{z-1} e^{-x} dx$$

$$\Gamma(z+1) = z\Gamma(z),$$

$$\Gamma(\varepsilon) = \frac{1}{\varepsilon} - \gamma + \mathcal{O}(\varepsilon)$$

$$\gamma \approx 0.5772\dots$$

costante di Eulero-Mascheroni

# Integrale radiale

$$\int_0^\infty dl_l \frac{l_l^{d-1}}{(l_l^2 + \Delta)^2} = \left[ x = \frac{\Delta}{l_l^2 + \Delta} \right] = \frac{1}{2} \frac{1}{\Delta^{2-\frac{d}{2}}} \int_0^1 dx x^{1-\frac{d}{2}} (1-x)^{\frac{d}{2}-1}$$

$$B(\alpha, \beta) \equiv \int_0^1 dx x^{\alpha-1} (1-x)^{\beta-1} = \frac{\Gamma(\alpha) \Gamma(\beta)}{\Gamma(\alpha+\beta)}$$

$$\Rightarrow \mu^{2\varepsilon} \int \frac{d^d l}{(2\pi)^d} \frac{1}{(l^2 - \Delta + i\varepsilon)^2} = \frac{i}{(4\pi)^{d/2}} \frac{\mu^{2\varepsilon}}{\Delta^{2-\frac{d}{2}}} \Gamma\left(\frac{4-d}{2}\right)$$

Vedi [S.B.3.2]  
per caso generale

espandendo per  $d=4-\varepsilon$  e  $\varepsilon \rightarrow 0$

$$\Gamma\left(\frac{\varepsilon}{2}\right) = \frac{2}{\varepsilon} - \gamma + O(\varepsilon), \quad \mu^\varepsilon = e^{\frac{1}{2}\varepsilon \log \mu^2} = 1 + \frac{\varepsilon}{2} \log \mu^2 + O(\varepsilon^2)$$

$$\left(\frac{4\pi}{\Delta}\right)^{\frac{\varepsilon}{2}} = e^{\frac{\varepsilon}{2} \log \frac{4\pi}{\Delta}} = 1 + \frac{\varepsilon}{2} (\log 4\pi - \log \Delta) + O(\varepsilon^2)$$

$$\mu^\varepsilon \int \frac{d^d l}{(2\pi)^d} \frac{1}{(l^2 - \Delta + i\varepsilon)^2} \xrightarrow{\varepsilon \rightarrow 0} \frac{i}{(4\pi)^2} \left( \frac{2}{\varepsilon} - \gamma + \log 4\pi - \log \frac{\Delta}{\mu^2} + O(\varepsilon) \right)$$

Mettendo tutto insieme:

$$V(p^2) = \frac{-1}{32\pi^2} \int_0^1 dx \left[ \frac{2}{\varepsilon} - \gamma + \log 4\pi - \log \frac{\mu^2 - p^2 x(1-x)}{\mu^2} + O(\varepsilon) \right]$$

# CONDIZIONI DI RINORMALIZZAZIONE

Definiamo:  $iM_{12 \rightarrow 34}(s=4m^2, t=u=0)_{1-loop}^* \equiv -i\lambda$   $\leftarrow$  MISURATO

$\Rightarrow$   $\lambda$  è l'accoppiamento RINORMALIZZATO, definito a quella specifica scala d'energia

$$\Rightarrow -i\lambda + (i\lambda)^2 i(V(4m^2) + 2V(0)) - i\delta\lambda = -i\lambda$$

$$\Rightarrow \boxed{\delta\lambda = -\lambda^2 (V(4m^2) + 2V(0))}$$

$$M_{12 \rightarrow 34}(s, t, u) = -\lambda - \frac{\lambda^2}{32\pi^2} \int_0^1 dx \left[ \log \frac{m^2 - s x(1-x)}{m^2 - 4m^2 x(1-x)} + \log \frac{m^2 - t x(1-x)}{m^2} + \log \frac{m^2 - u x(1-x)}{m^2} \right]$$

La dipendenza da  $\mu$  e da  $\epsilon$  è andata via.

Predico l'ampiezza a energie arbitrarie in termini di quantità fisiche. Il risultato è FINITO.

\* La specifica configurazione scelta per rinormalizzare  $\lambda$  non è obbligatoria. È infatti anche possibile scegliere configurazioni non fisiche



# FUNZIONE A 2 PUNTI

Per determinare  $\delta_Z$  e  $\delta_m$  dobbiamo calcolare la funzione a 2 punti, di diagrammi 1PI

$$\text{---} \textcircled{1PI} \text{---} = -i \tilde{\Pi}(p^2)$$

La funzione a 2 punti (connessa) totale  $\tilde{e}$  quindi data da:

$$\begin{aligned} \text{---} \textcircled{\text{diagonale}} \text{---} &= \text{---} + \text{---} \textcircled{1PI} \text{---} + \text{---} \textcircled{1PI} \text{---} \textcircled{1PI} \text{---} + \text{---} \textcircled{1PI} \text{---} \textcircled{1PI} \text{---} \textcircled{1PI} \text{---} + \dots \\ &= \frac{i}{p^2 - m^2 + i\epsilon} + \frac{i}{p^2 - m^2 + i\epsilon} (-i\tilde{\Pi}) \frac{i}{p^2 - m^2 + i\epsilon} + \frac{i}{p^2 - m^2 + i\epsilon} (-i\tilde{\Pi}) \frac{i}{p^2 - m^2 + i\epsilon} (-i\tilde{\Pi}) \frac{i}{p^2 - m^2 + i\epsilon} + \dots \\ &\quad \leftarrow \text{massa rinormalizzata} \\ &= \frac{i}{p^2 - m^2 - \tilde{\Pi}(p^2) + i\epsilon} \end{aligned}$$

Le condizioni di rinormalizzazione nello schema MOM sono:

$$\text{---} \textcircled{\text{diagonale}} \text{---} \equiv \frac{i}{p^2 - m^2 + i\epsilon} + (\text{termini regolari per } p^2 = m^2)$$

ovvero  $\tilde{\Pi}(m^2) = 0$  e  $\left. \frac{d}{dp^2} \tilde{\Pi}(p^2) \right|_{p^2 = m^2} = 0$

$$\Rightarrow \frac{i}{p^2 - m^2 - \tilde{\Pi}(p^2) + i\epsilon} \approx \frac{i}{p^2 - m^2 - \tilde{\Pi}(m^2) - (p^2 - m^2) \tilde{\Pi}'(m^2) + O(p^2 - m^2)^2 + i\epsilon} \approx \frac{i}{(p^2 - m^2) \underbrace{(1 - \tilde{\Pi}'(m^2))}_{Z^{-1}} + i\epsilon}$$

A un loop abbiamo:

$$-i\tilde{\Pi}(p^2) = \frac{\text{loop diagram}}{\vec{p} \quad \vec{p}} + \text{crossed line} =$$

$$= -i\lambda \frac{1}{2} \int \frac{d^d k}{(2\pi)^d} \frac{i}{k^2 - m^2 + i\epsilon} + i(p^2 \delta_2 - \delta_m) =$$

$$= -i\lambda \frac{1}{2} \frac{1}{(4\pi)^{d/2}} \frac{\Gamma(1 - \frac{d}{2})}{(m^2)^{1-d/2}} + i(p^2 \delta_2 - \delta_m)$$

$$1 - \frac{d}{2} \simeq -1 + \frac{\epsilon}{2}$$

è indipendente da  $p^2$  quindi

$$\Rightarrow \delta_2 = 0, \quad \delta_m = -\frac{\lambda}{2} \frac{1}{(4\pi)^{d/2}} \frac{\Gamma(1 - \frac{d}{2})}{(m^2)^{1-d/2}}$$

$$\Rightarrow \tilde{\Pi}(p^2) = 0$$

Un contributo non nullo nasce a 2 loop:

$$\text{bubble diagram} + \text{self-energy diagram} + \text{crossed line}$$